

Dénombrement d'arbres plus petit dans l'ordre de Tamari

Grégory Châtel, Viviane Pons

Université Paris-Est Marne-la-Vallée

6 Novembre 2013

Introduction

Ordre sur les permutations

Ordre sur les arbres

Lien entre ces ordres

Dénombrement des arbres plus petits

Résultat principal

Intervalles-posets

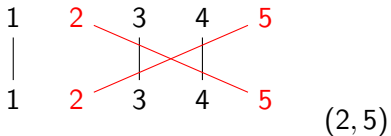
Treillis de m -Tamari

Chemins ballots

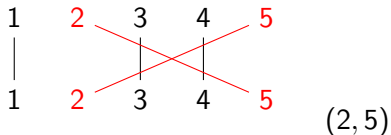
Arbres m -binaires

Perspectives

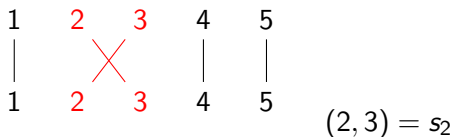
Transpositions



Transpositions



Transpositions simples



Ordre faible droit

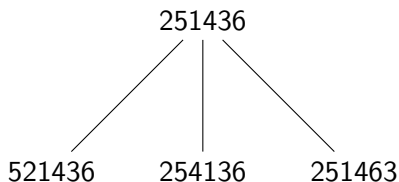


$$\ell(\sigma s_i) = \ell(\sigma) + 1$$

Ordre faible droit



$$\ell(\sigma s_i) = \ell(\sigma) + 1$$



Ordre faible droit

 σ  σs_i

$$\ell(\sigma s_i) = \ell(\sigma) + 1$$

251436

521436

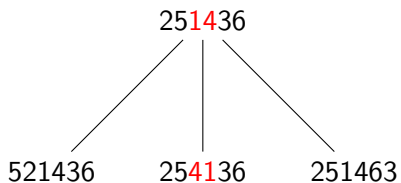
254136

251463

Ordre faible droit



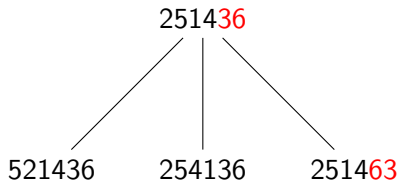
$$\ell(\sigma s_i) = \ell(\sigma) + 1$$



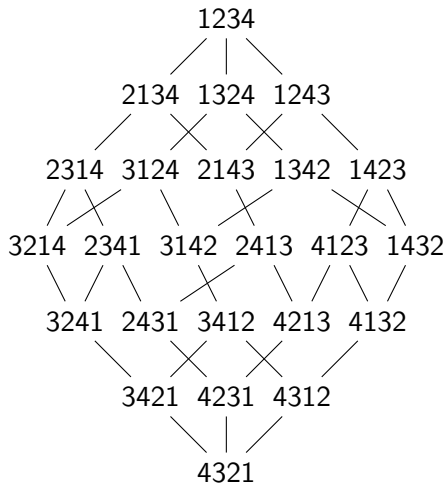
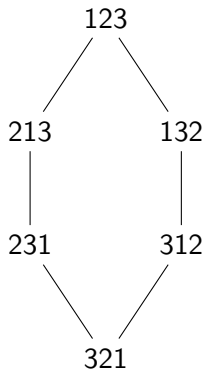
Ordre faible droit



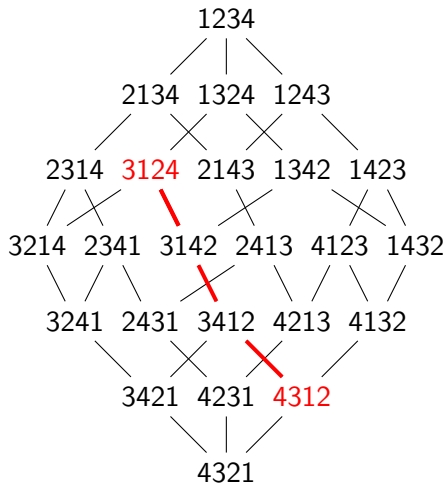
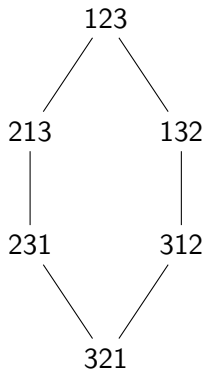
$$\ell(\sigma s_i) = \ell(\sigma) + 1$$



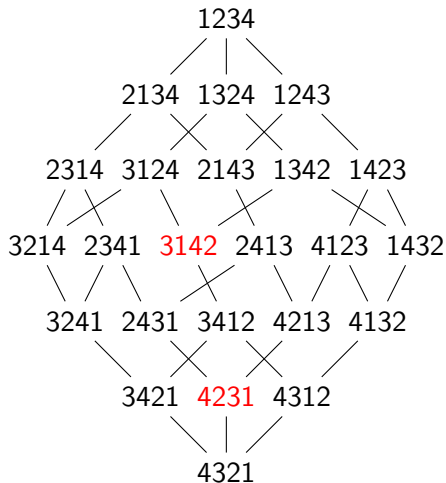
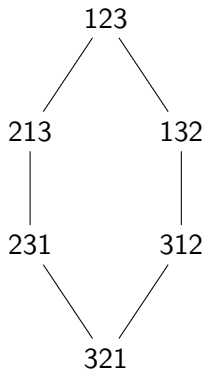
Ordre faible droit



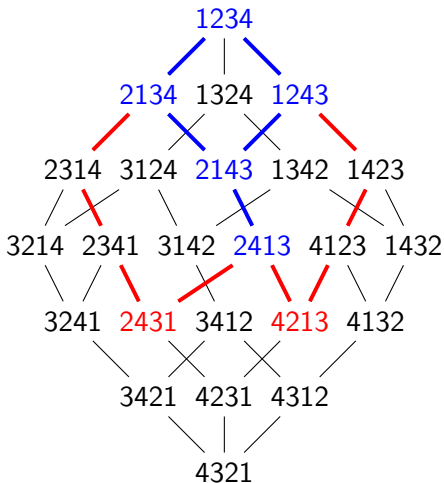
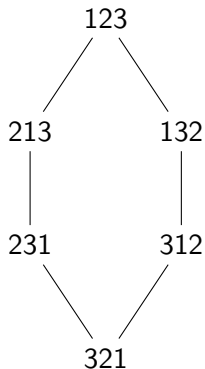
Ordre faible droit



Ordre faible droit



Ordre faible droit



Arbres binaires

Définition récursive :

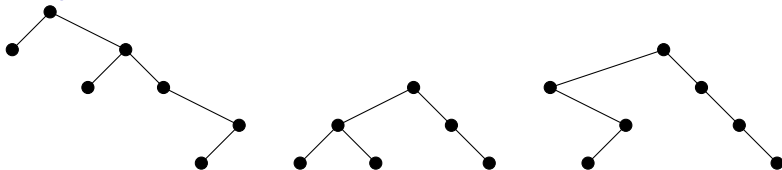
- ▶ l'arbre vide ou
- ▶ une racine possédant 2 sous-arbres (gauche et droit)

Arbres binaires

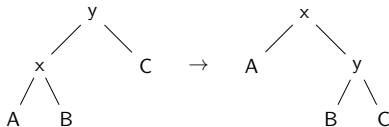
Définition récursive :

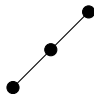
- ▶ l'arbre vide ou
- ▶ une racine possédant 2 sous-arbres (gauche et droit)

Exemples

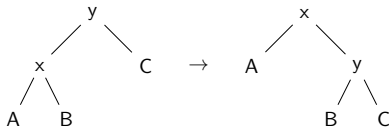


Rotation droite



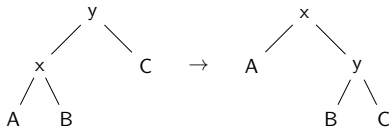


Rotation droite

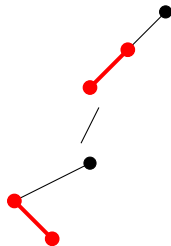
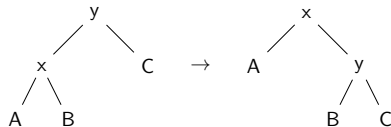




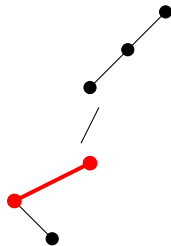
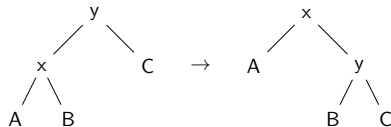
Rotation droite



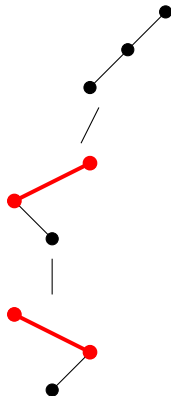
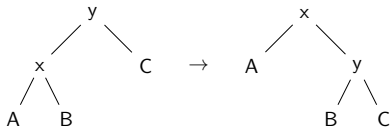
Rotation droite



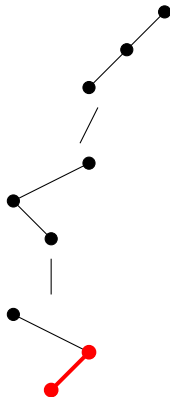
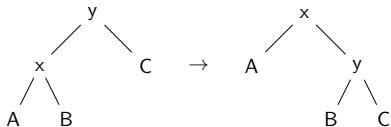
Rotation droite



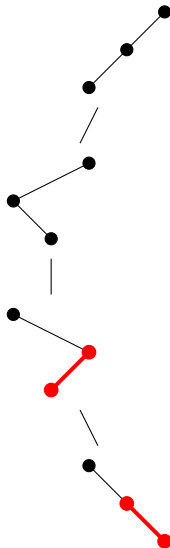
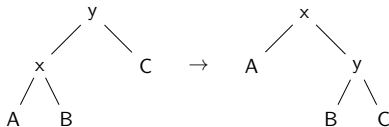
Rotation droite



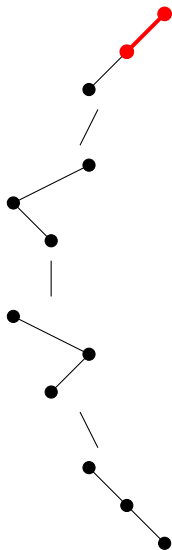
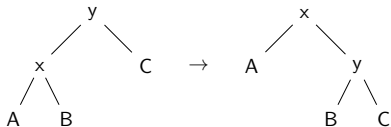
Rotation droite



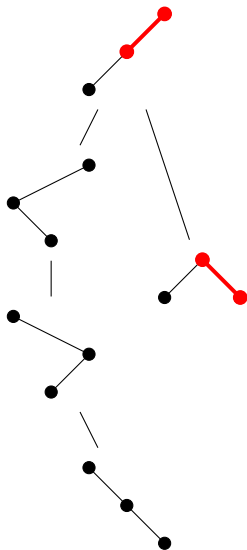
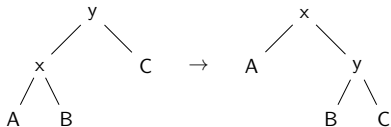
Rotation droite



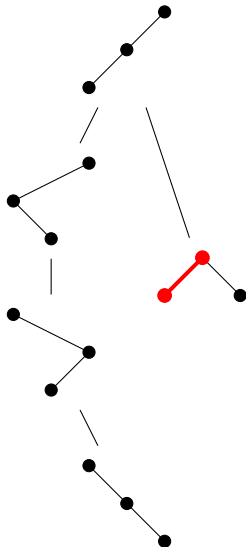
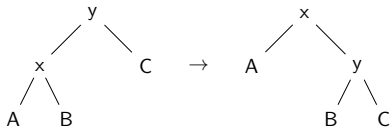
Rotation droite



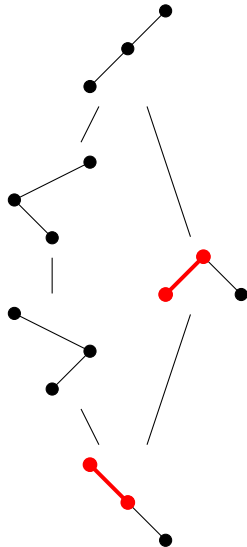
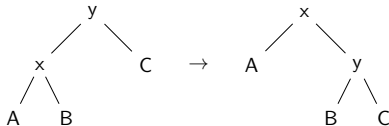
Rotation droite



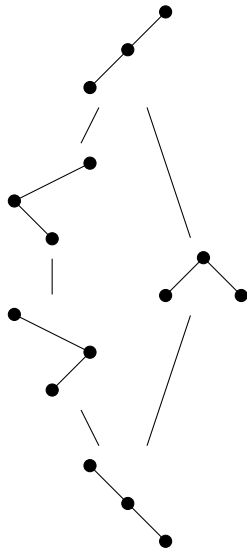
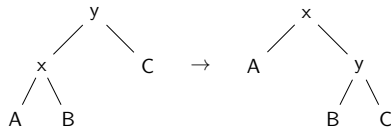
Rotation droite

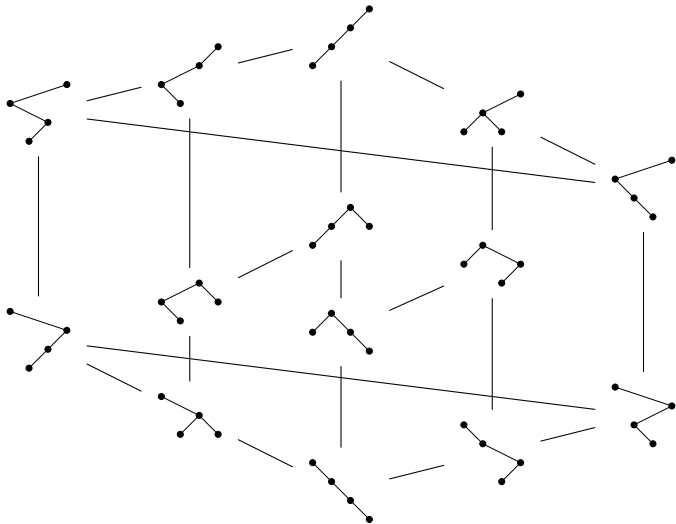


Rotation droite



Rotation droite





Quelques résultats sur l'ordre de Tamari

Quelques résultats sur l'ordre de Tamari

- ▶ 1962, Tamari : ordre sur les parenthésages formels

Quelques résultats sur l'ordre de Tamari

- ▶ 1962, Tamari : ordre sur les parenthésages formels
- ▶ 1972, Huang, Tamari : structure de treillis

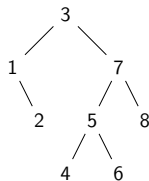
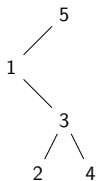
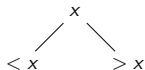
Quelques résultats sur l'ordre de Tamari

- ▶ 1962, Tamari : ordre sur les parenthésages formels
- ▶ 1972, Huang, Tamari : structure de treillis
- ▶ 2007, Chapoton : nombre d'intervalles

$$\frac{2}{n(n+1)} \binom{4n+1}{n-1}$$

Lien avec l'ordre faible

Étiquetage canonique



Insertion dans un arbre binaire de recherche

4

15324 \rightarrow

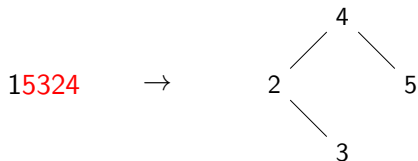
Insertion dans un arbre binaire de recherche



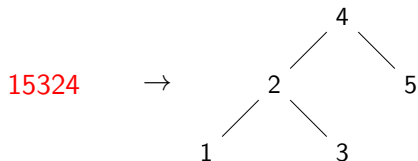
Insertion dans un arbre binaire de recherche



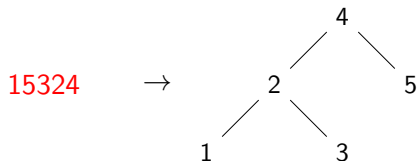
Insertion dans un arbre binaire de recherche



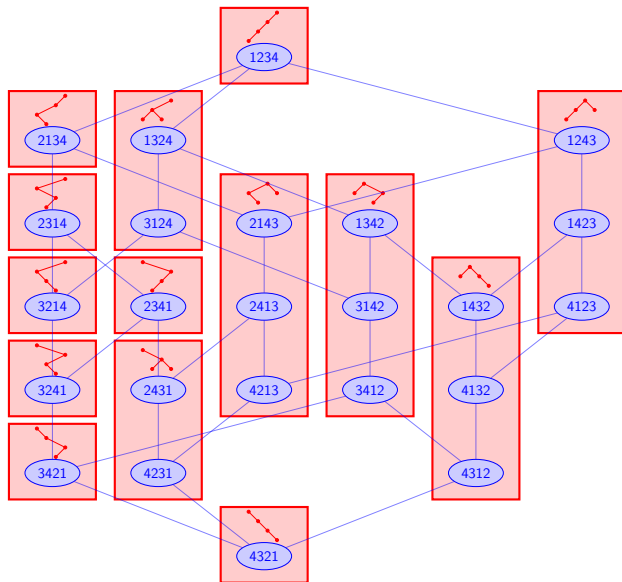
Insertion dans un arbre binaire de recherche



Insertion dans un arbre binaire de recherche



Caractérisation : les permutations qui correspondent à un arbre donné sont ses extensions linéaires
 15324, 31254, 35124, 51324, ...

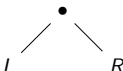


Polynômes de Tamari

On définit récursivement \mathcal{B}_T par

$$\mathcal{B}_\emptyset := 1$$

$$\mathcal{B}_T(x) := x\mathcal{B}_L(x) \frac{x\mathcal{B}_R(x) - \mathcal{B}_R(1)}{x - 1}$$

avec $T =$ 

Théorème (C., Pons)

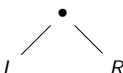
$\mathcal{B}_T(x)$ compte le nombre d'arbres inférieurs ou égaux à T dans le treillis de Tamari en fonction du nombre de nœuds sur leur branche gauche.

Polynômes de Tamari

On définit récursivement \mathcal{B}_T par

$$\mathcal{B}_\emptyset := 1$$

$$\mathcal{B}_T(x) := x \mathcal{B}_L(x) \frac{x \mathcal{B}_R(x) - \mathcal{B}_R(1)}{x - 1}$$

avec $T =$ 

Théorème (C., Pons)

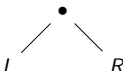
$\mathcal{B}_T(x)$ compte le nombre d'arbres inférieurs ou égaux à T dans le treillis de Tamari en fonction du nombre de nœuds sur leur branche gauche.

Polynômes de Tamari

On définit récursivement \mathcal{B}_T par

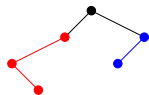
$$\mathcal{B}_\emptyset := 1$$

$$\mathcal{B}_T(x) := x\mathcal{B}_L(x) \frac{x\mathcal{B}_R(x) - \mathcal{B}_R(1)}{x - 1}$$

avec $T =$ 

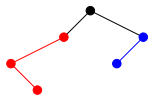
Théorème (C., Pons)

$\mathcal{B}_T(x)$ compte le nombre d'arbres inférieurs ou égaux à T dans le treillis de Tamari en fonction du nombre de nœuds sur leur branche gauche.



$$\mathcal{B}_\emptyset := 1$$

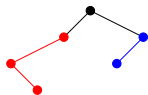
$$\mathcal{B}_T(x) := x\mathcal{B}_L(x) \frac{x\mathcal{B}_R(x) - \mathcal{B}_R(1)}{x - 1}$$



$$\mathcal{B}_\emptyset := 1$$

$$\mathcal{B}_T(x) := x\mathcal{B}_L(x) \frac{x\mathcal{B}_R(x) - \mathcal{B}_R(1)}{x - 1}$$

$$\mathcal{B}_L(x) = x^3 + x^2$$

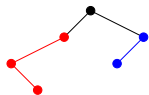


$$\mathcal{B}_\emptyset := 1$$

$$\mathcal{B}_T(x) := x\mathcal{B}_L(x) \frac{x\mathcal{B}_R(x) - \mathcal{B}_R(1)}{x - 1}$$

$$\mathcal{B}_L(x) = x^3 + x^2$$

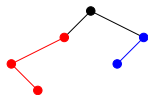
$$\mathcal{B}_R(x) = x^2$$



$$\mathcal{B}_\emptyset := 1$$

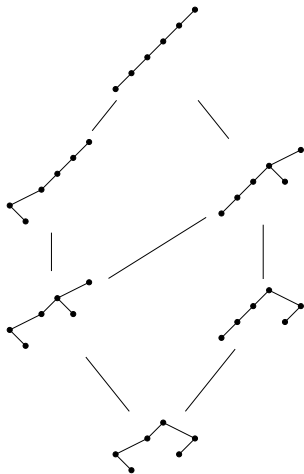
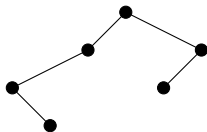
$$\mathcal{B}_T(x) := x(x^3 + x^2) \frac{x\mathcal{B}_R(x) - \mathcal{B}_R(1)}{x - 1}$$

$$\mathcal{B}_R(x) = x^2$$

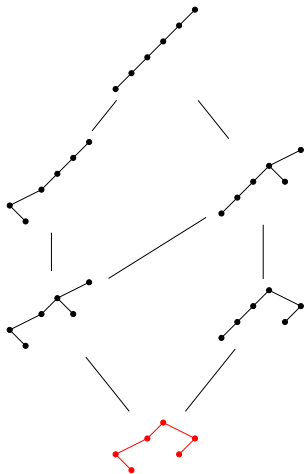
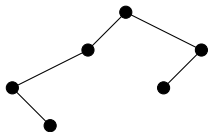


$$\mathcal{B}_\emptyset := 1$$

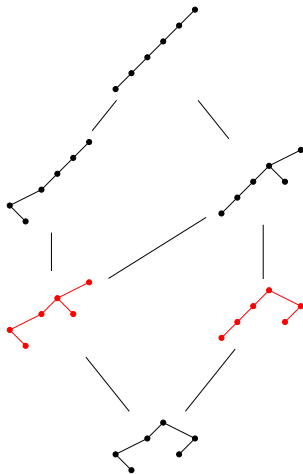
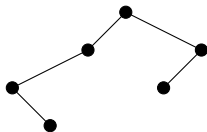
$$\mathcal{B}_T(x) := x(x^3 + x^2)(1 + x + x^2)$$



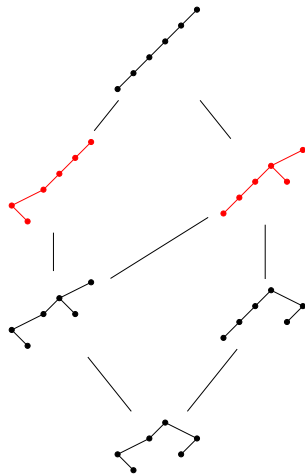
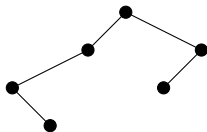
$$\mathcal{B}_T(x) = x^3 + 2x^4 + 2x^5 + x^6$$



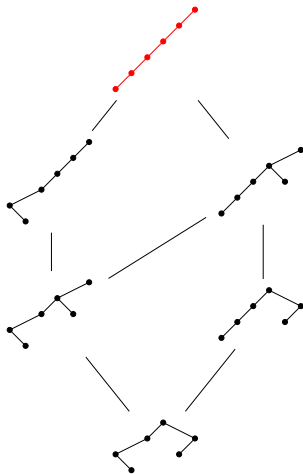
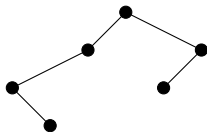
$$\mathcal{B}_T(x) = x^3 + 2x^4 + 2x^5 + x^6$$



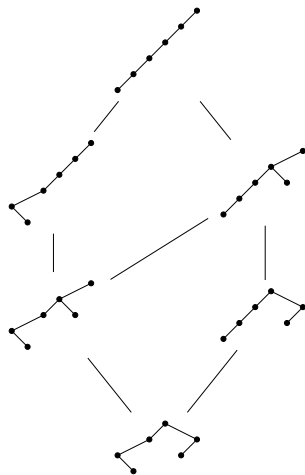
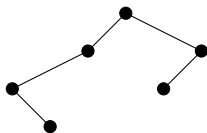
$$\mathcal{B}_T(x) = x^3 + 2x^4 + 2x^5 + x^6$$



$$\mathcal{B}_T(x) = x^3 + 2x^4 + 2x^5 + x^6$$

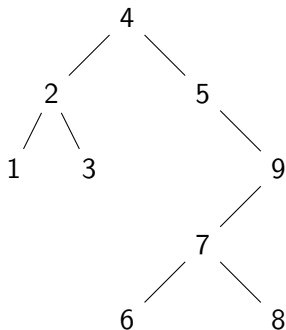


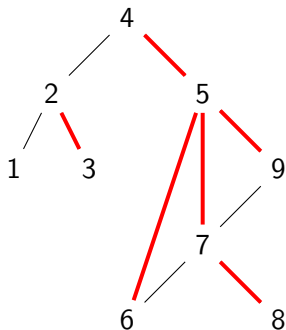
$$\mathcal{B}_T(x) = x^3 + 2x^4 + 2x^5 + x^6$$

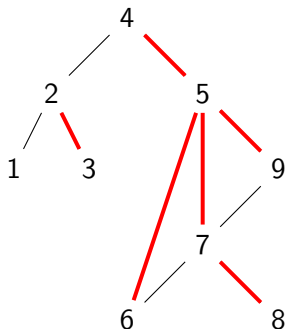
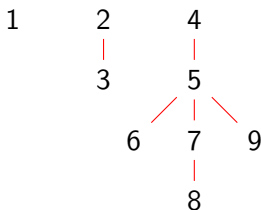


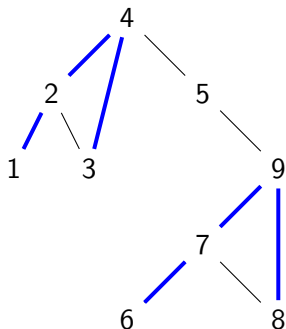
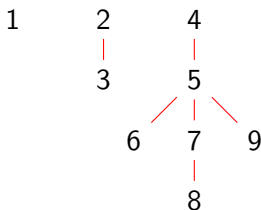
$$\mathcal{B}_T(x) = x^3 + 2x^4 + 2x^5 + x^6$$

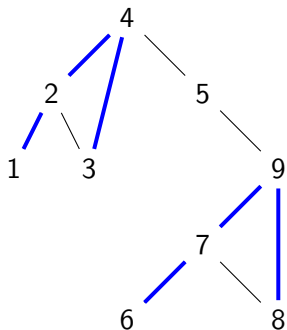
$$\mathcal{B}_T(1) = 6$$



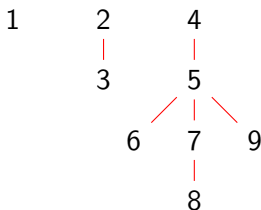
Forêt finale $F_{\geq}(T)$ 

Forêt finale $F_{\geq}(T)$ 

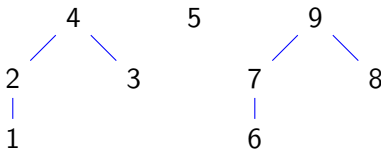
Forêt finale $F_{\geq}(T)$ Forêt initiale $F_{\leq}(T)$

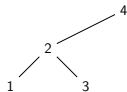
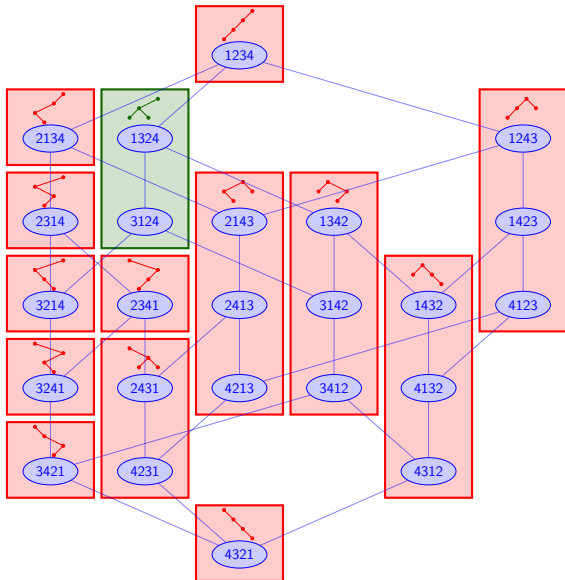


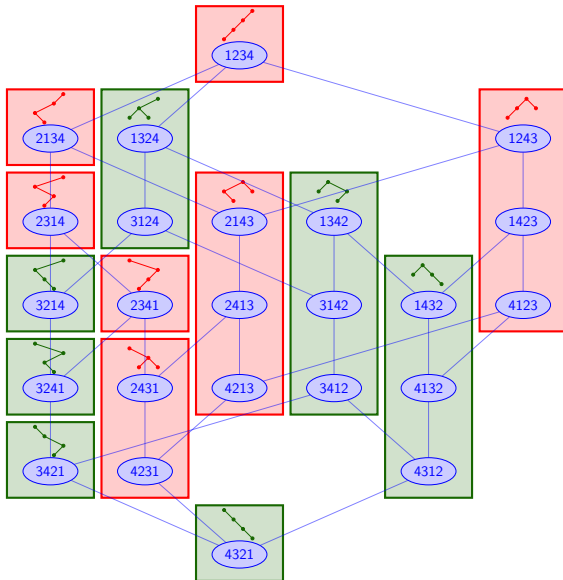
Forêt finale $F_{\geq}(T)$



Forêt initiale $F_{\leq}(T)$

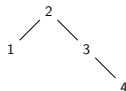
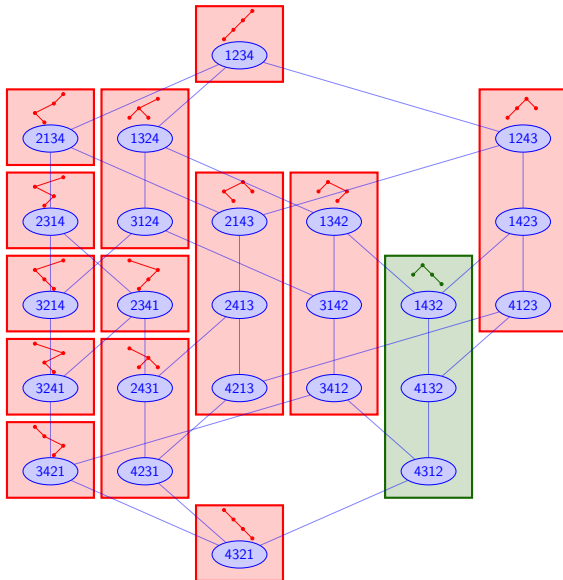


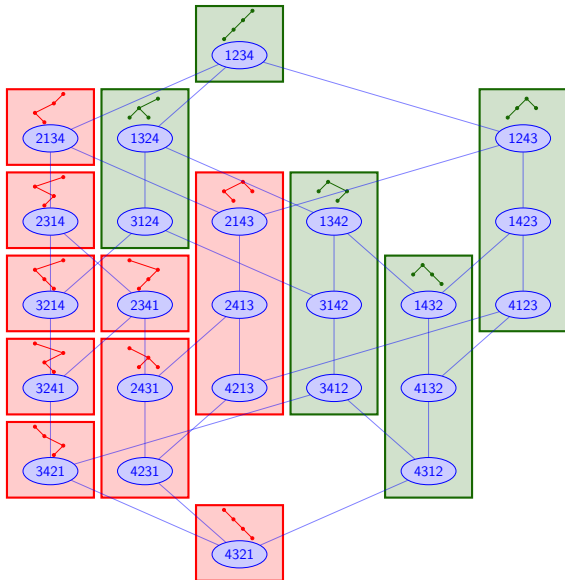




$$F_{\ge}(T)$$

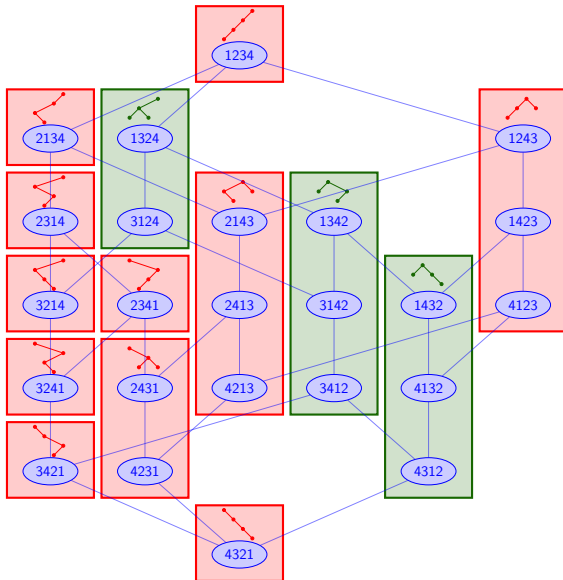






$$F_{\leq}(T')$$





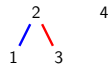
$$F_{\geq}(T)$$



$$F_{\leq}(T')$$



Intervalle-poset
 $[T, T']$



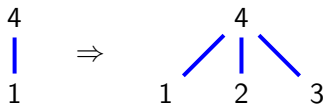
Théorème (C., Pons)

Les intervalles de Tamari sont en bijection avec les posets étiquetés sur $1, \dots, n$ de taille n vérifiant :

Théorème (C., Pons)

Les intervalles de Tamari sont en bijection avec les posets étiquetés sur $1, \dots, n$ de taille n vérifiant :

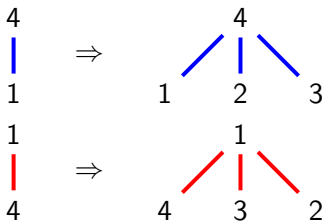
- ▶ *Si $a < c$ et $a \triangleleft c$ alors $b \triangleleft c$ pour tout $a < b < c$.*

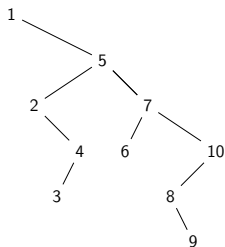
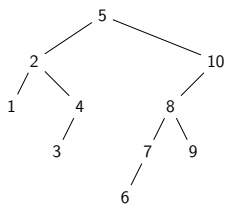


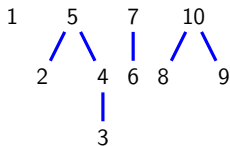
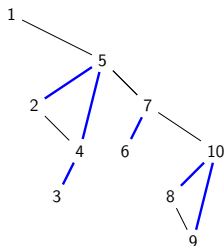
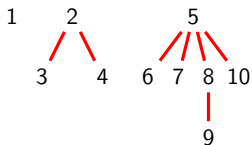
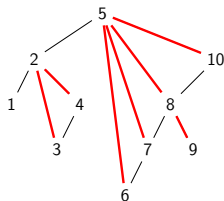
Théorème (C., Pons)

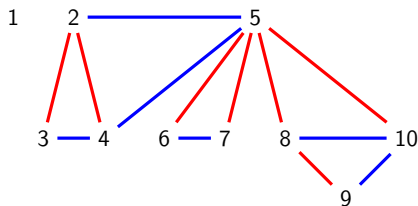
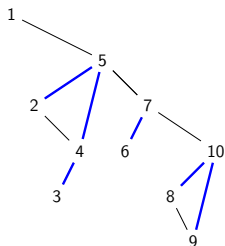
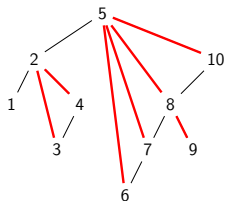
Les intervalles de Tamari sont en bijection avec les posets étiquetés sur $1, \dots, n$ de taille n vérifiant :

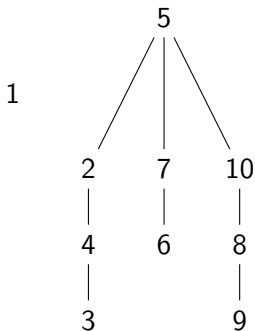
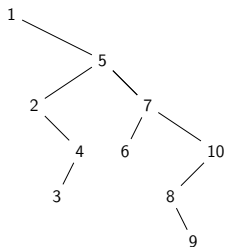
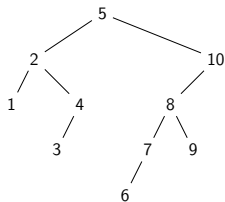
- ▶ Si $a < c$ et $a \triangleleft c$ alors $b \triangleleft c$ pour tout $a < b < c$.
- ▶ Si $a < c$ et $c \triangleleft a$ alors $b \triangleleft a$ pour tout $a < b < c$.

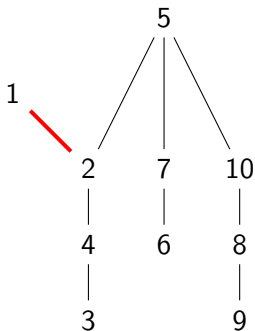
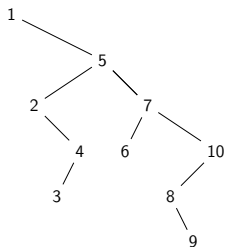
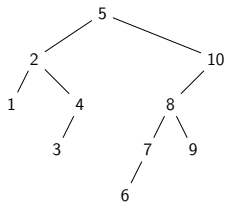


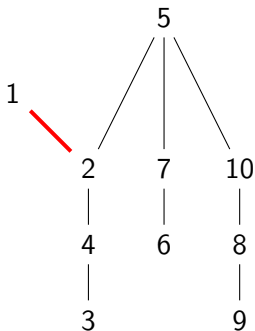
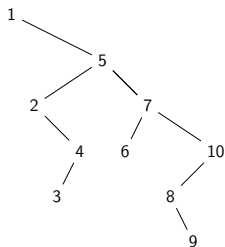
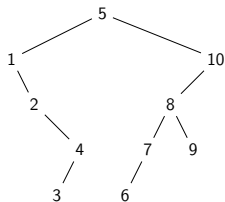


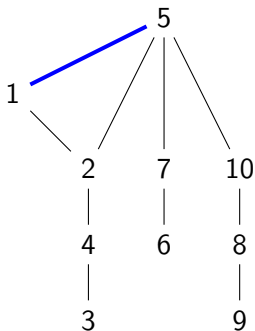
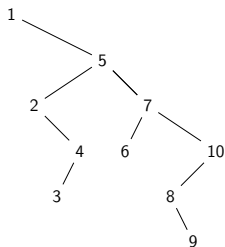
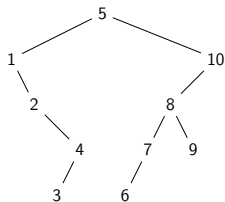


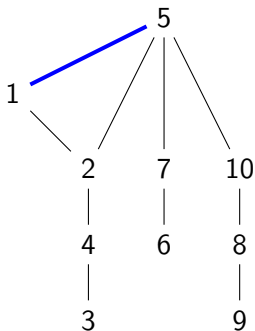
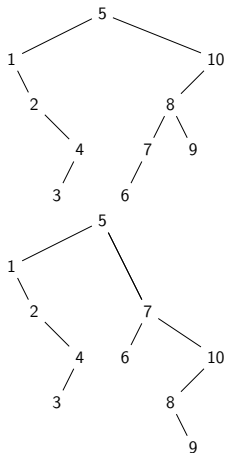








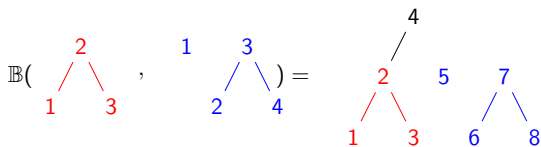




$$\mathbb{B}\left(\begin{array}{c} 2 \\ / \quad \backslash \\ 1 \quad 3 \end{array}, \begin{array}{c} 1 \quad 3 \\ / \quad \backslash \\ 2 \quad 4 \end{array} \right) =$$

$$\mathbb{B} \left(\begin{array}{c} 2 \\ / \quad \backslash \\ 1 \quad 3 \end{array}, \begin{array}{c} 1 \quad 3 \\ / \quad \backslash \\ 2 \quad 4 \end{array} \right) = \begin{array}{c} 2 \\ / \quad \backslash \\ 1 \quad 3 \end{array}$$

$$\mathbb{B} \left(\begin{array}{c} 2 \\ / \quad \backslash \\ 1 \quad 3 \end{array}, \begin{array}{c} 1 \quad 3 \\ / \quad \backslash \\ 2 \quad 4 \end{array} \right) = \begin{array}{c} 4 \\ | \\ 2 \\ / \quad \backslash \\ 1 \quad 3 \end{array}$$

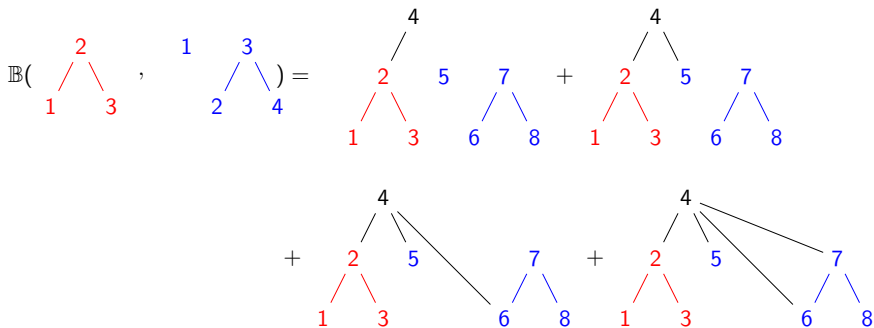


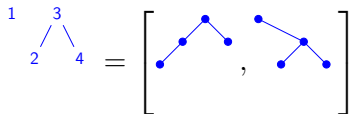
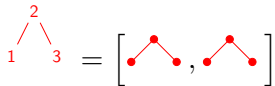
$$\mathbb{B} \left(\begin{array}{c} 2 \\ / \quad \backslash \\ 1 \quad 3 \end{array}, \begin{array}{c} 1 \quad 3 \\ / \quad \backslash \\ 2 \quad 4 \end{array} \right) = \begin{array}{c} 4 \\ / \quad \backslash \\ 2 \quad 5 \\ / \quad \backslash \\ 1 \quad 3 \quad 6 \quad 8 \end{array} + \begin{array}{c} 4 \\ / \quad \backslash \\ 2 \quad 5 \\ / \quad \backslash \\ 1 \quad 3 \quad 6 \quad 8 \end{array}$$

The image shows a combinatorial identity involving binary trees. On the left, the product of two trees is shown. The first tree has root 2 with children 1 and 3. The second tree has root 3 with children 2 and 4. The result is the sum of two trees. The first tree in the sum has root 4 with children 2 and 5. Node 2 has children 1 and 3. Node 5 has children 6 and 8. The second tree in the sum is identical to the first one.

$$\mathbb{B} \left(\begin{array}{c} 2 \\ / \quad \backslash \\ 1 \quad 3 \end{array}, \begin{array}{c} 1 \quad 3 \\ / \quad \backslash \\ 2 \quad 4 \end{array} \right) = \begin{array}{c} 4 \\ / \quad \backslash \\ 2 \quad 5 \\ / \quad \backslash \\ 1 \quad 3 \quad 6 \quad 8 \end{array} + \begin{array}{c} 4 \\ / \quad \backslash \\ 2 \quad 5 \\ / \quad \backslash \\ 1 \quad 3 \quad 6 \quad 8 \end{array}$$

$$+ \begin{array}{c} 4 \\ / \quad \backslash \quad \backslash \\ 2 \quad 5 \quad 7 \\ / \quad \backslash \quad \backslash \\ 1 \quad 3 \quad 6 \quad 8 \end{array}$$





$$\begin{array}{c} 2 \\ / \quad \backslash \\ 1 \quad 3 \end{array} = \left[\begin{array}{c} \bullet \\ / \quad \backslash \\ \bullet \quad \bullet \end{array}, \begin{array}{c} \bullet \\ / \quad \backslash \\ \bullet \quad \bullet \end{array} \right]$$

x^2

$$\begin{array}{c} 3 \\ / \quad \backslash \\ 1 \quad 2 \quad 4 \end{array} = \left[\begin{array}{c} \bullet \\ / \quad \backslash \\ \bullet \quad \bullet \\ / \quad \backslash \\ \bullet \quad \bullet \end{array}, \begin{array}{c} \bullet \\ / \quad \backslash \\ \bullet \quad \bullet \\ / \quad \backslash \\ \bullet \quad \bullet \end{array} \right]$$

x^3

$$\begin{array}{c} 2 \\ / \quad \backslash \\ 1 \quad 3 \end{array} = \left[\begin{array}{c} \bullet \\ / \quad \backslash \\ \bullet \quad \bullet \\ \text{red} \end{array}, \begin{array}{c} \bullet \\ / \quad \backslash \\ \bullet \quad \bullet \\ \text{red} \end{array} \right]$$

x^2

$$\begin{array}{c} 3 \\ / \quad \backslash \\ 1 \quad 2 \quad 4 \end{array} = \left[\begin{array}{c} \bullet \\ / \quad \backslash \\ \bullet \quad \bullet \\ / \quad \backslash \\ \bullet \quad \bullet \\ \text{blue} \end{array}, \begin{array}{c} \bullet \\ / \quad \backslash \\ \bullet \quad \bullet \\ / \quad \backslash \\ \bullet \quad \bullet \\ \text{blue} \end{array} \right]$$

x^3

$$\begin{array}{c} 4 \\ / \quad \backslash \\ 2 \quad 5 \\ / \quad \backslash \\ 1 \quad 3 \end{array} \quad \begin{array}{c} 7 \\ / \quad \backslash \\ 6 \quad 8 \end{array}$$

$$\left[\begin{array}{c} \bullet \\ / \quad \backslash \\ \bullet \quad \bullet \\ / \quad \backslash \\ \bullet \quad \bullet \\ \text{blue} \end{array} \begin{array}{c} \bullet \\ / \quad \backslash \\ \bullet \quad \bullet \\ / \quad \backslash \\ \bullet \quad \bullet \\ \text{blue} \end{array} \begin{array}{c} \bullet \\ / \quad \backslash \\ \bullet \quad \bullet \\ / \quad \backslash \\ \bullet \quad \bullet \\ \text{blue} \end{array}, \begin{array}{c} \bullet \\ / \quad \backslash \\ \bullet \quad \bullet \\ / \quad \backslash \\ \bullet \quad \bullet \\ \text{red} \end{array} \begin{array}{c} \bullet \\ / \quad \backslash \\ \bullet \quad \bullet \\ / \quad \backslash \\ \bullet \quad \bullet \\ \text{blue} \end{array} \begin{array}{c} \bullet \\ / \quad \backslash \\ \bullet \quad \bullet \\ / \quad \backslash \\ \bullet \quad \bullet \\ \text{blue} \end{array} \right]$$

$$\begin{array}{c}
 \begin{array}{c} 2 \\ / \quad \backslash \\ 1 \quad 3 \end{array} = \left[\begin{array}{c} \bullet \quad \bullet \\ / \quad \backslash \\ \bullet \quad \bullet \end{array}, \begin{array}{c} \bullet \quad \bullet \\ / \quad \backslash \\ \bullet \quad \bullet \end{array} \right] \\
 x^2
 \end{array}
 \qquad
 \begin{array}{c}
 \begin{array}{c} 4 \\ / \quad \backslash \\ 2 \quad 5 \\ / \quad \backslash \\ 1 \quad 3 \end{array} \quad \begin{array}{c} 7 \\ / \quad \backslash \\ 6 \quad 8 \end{array} \\
 \left[\begin{array}{c} \bullet \quad \bullet \quad \bullet \quad \bullet \\ / \quad \backslash \quad / \quad \backslash \\ \bullet \quad \bullet \quad \bullet \quad \bullet \end{array}, \begin{array}{c} \bullet \quad \bullet \quad \bullet \quad \bullet \\ / \quad \backslash \quad / \quad \backslash \\ \bullet \quad \bullet \quad \bullet \quad \bullet \end{array} \right] \\
 x^3
 \end{array}
 \end{array}$$

$x^2 \cdot x \cdot x^3$

$$\begin{array}{c} 2 \\ / \quad \backslash \\ 1 \quad 3 \end{array} = \left[\begin{array}{c} \bullet \\ / \quad \backslash \\ \bullet \quad \bullet \\ \text{red} \end{array}, \begin{array}{c} \bullet \\ / \quad \backslash \\ \bullet \quad \bullet \\ \text{red} \end{array} \right]$$

x^2

$$\begin{array}{c} 3 \\ / \quad \backslash \\ 1 \quad 2 \quad 4 \end{array} = \left[\begin{array}{c} \bullet \\ / \quad \backslash \\ \bullet \quad \bullet \\ / \quad \backslash \\ \bullet \quad \bullet \\ \text{blue} \end{array}, \begin{array}{c} \bullet \\ / \quad \backslash \\ \bullet \quad \bullet \\ \text{blue} \end{array} \right]$$

x^3

$$\begin{array}{c} 4 \\ / \quad \backslash \\ 1 \quad 2 \quad 5 \\ / \quad \backslash \\ \bullet \quad \bullet \\ \text{red} \end{array} \quad \begin{array}{c} 7 \\ / \quad \backslash \\ 6 \quad 8 \\ \text{blue} \end{array}$$

$$\left[\begin{array}{c} \bullet \\ / \quad \backslash \\ \bullet \quad \bullet \\ / \quad \backslash \\ \bullet \quad \bullet \\ \text{red} \end{array}, \begin{array}{c} \bullet \\ / \quad \backslash \\ \bullet \quad \bullet \\ \text{red} \end{array} \right], \left[\begin{array}{c} \bullet \\ / \quad \backslash \\ \bullet \quad \bullet \\ / \quad \backslash \\ \bullet \quad \bullet \\ \text{blue} \end{array}, \begin{array}{c} \bullet \\ / \quad \backslash \\ \bullet \quad \bullet \\ \text{blue} \end{array} \right]$$

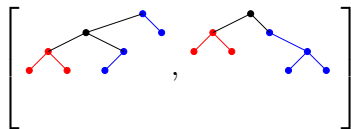
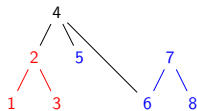
$$x^2 \cdot x \cdot x^3 + x^2 \cdot x \cdot x^2$$

$$\begin{array}{c} 2 \\ / \quad \backslash \\ 1 \quad 3 \end{array} = \left[\begin{array}{c} \bullet \quad \bullet \\ / \quad \backslash \\ \bullet \quad \bullet \end{array}, \begin{array}{c} \bullet \quad \bullet \\ / \quad \backslash \\ \bullet \quad \bullet \end{array} \right]$$

x^2

$$\begin{array}{c} 3 \\ / \quad \backslash \\ 1 \quad 2 \quad 4 \end{array} = \left[\begin{array}{c} \bullet \quad \bullet \quad \bullet \\ / \quad \backslash \\ \bullet \quad \bullet \quad \bullet \end{array}, \begin{array}{c} \bullet \quad \bullet \quad \bullet \\ / \quad \backslash \\ \bullet \quad \bullet \quad \bullet \end{array} \right]$$

x^3



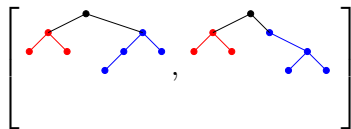
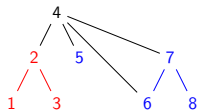
$$x^2 \cdot x \cdot x^3 + x^2 \cdot x \cdot x^2 + x^2 \cdot x \cdot x$$

$$\begin{array}{c} 2 \\ / \quad \backslash \\ 1 \quad 3 \end{array} = \left[\begin{array}{c} \bullet \quad \bullet \\ / \quad \backslash \\ \bullet \quad \bullet \end{array}, \begin{array}{c} \bullet \quad \bullet \\ / \quad \backslash \\ \bullet \quad \bullet \end{array} \right]$$

x^2

$$\begin{array}{c} 3 \\ / \quad \backslash \\ 2 \quad 4 \end{array} = \left[\begin{array}{c} \bullet \quad \bullet \quad \bullet \\ / \quad \backslash \\ \bullet \quad \bullet \end{array}, \begin{array}{c} \bullet \quad \bullet \quad \bullet \\ / \quad \backslash \\ \bullet \quad \bullet \end{array} \right]$$

x^3



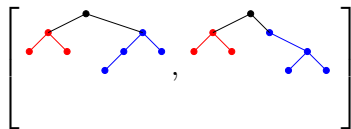
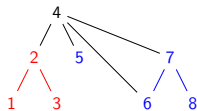
$$x^2 \cdot x \cdot x^3 + x^2 \cdot x \cdot x^2 + x^2 \cdot x \cdot x + x^2 \cdot x$$

$$\begin{array}{c} 2 \\ / \quad \backslash \\ 1 \quad 3 \end{array} = \left[\begin{array}{c} \bullet \quad \bullet \\ / \quad \backslash \\ \bullet \quad \bullet \end{array}, \begin{array}{c} \bullet \quad \bullet \\ / \quad \backslash \\ \bullet \quad \bullet \end{array} \right]$$

x^2

$$\begin{array}{c} 3 \\ / \quad \backslash \\ 2 \quad 4 \end{array} = \left[\begin{array}{c} \bullet \quad \bullet \quad \bullet \\ / \quad \backslash \\ \bullet \quad \bullet \end{array}, \begin{array}{c} \bullet \quad \bullet \quad \bullet \\ / \quad \backslash \\ \bullet \quad \bullet \end{array} \right]$$

x^3



$$x^2 \cdot x \cdot (x^3 + x^2 + x + 1)$$

Théorème (Chapoton)

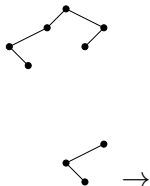
La série génératrice des intervalles de Tamari vérifie l'équation fonctionnelle

$$\Phi(x, y) = B(\Phi, \Phi) + 1$$

où

$$B(f, g) = xyf(x, y) \frac{xg(x, y) - g(1, y)}{x - 1}$$







x^3



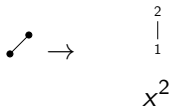
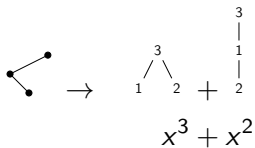


→

$$\begin{array}{c}
 3 \\
 \swarrow \quad \searrow \\
 1 \quad 2
 \end{array}
 +
 \begin{array}{c}
 3 \\
 | \\
 1 \\
 | \\
 2
 \end{array}$$

$$x^3 + x^2$$







→

$$\begin{array}{c}
 3 \\
 \swarrow \quad \searrow \\
 1 \quad 2
 \end{array}
 + \begin{array}{c}
 3 \\
 | \\
 1 \\
 | \\
 2
 \end{array}$$

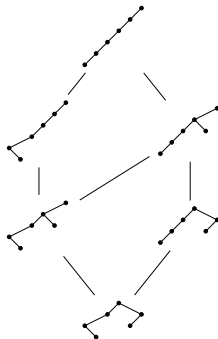
$$x^3 + x^2$$



→

$$\begin{array}{c}
 2 \\
 | \\
 1
 \end{array}$$

$$x^2$$





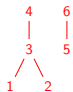
$$\begin{array}{c} 3 \\ / \quad \backslash \\ 1 \quad 2 \end{array} + \begin{array}{c} 3 \\ | \\ 1 \\ | \\ 2 \end{array}$$

$$x^3 + x^2$$

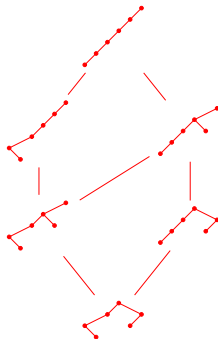


$$\begin{array}{c} 2 \\ | \\ 1 \end{array}$$

$$x^2$$



$$x^3 \cdot x \cdot x^2$$

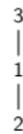




→



+



$$x^3 + x^2$$



→



$$x^2$$

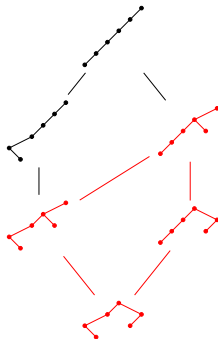


+



$$x^3 \cdot x \cdot x^2$$

$$+ x^3 \cdot x \cdot x$$





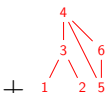
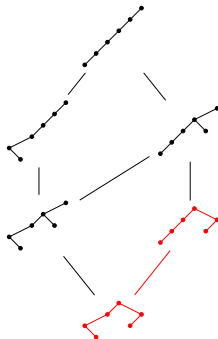
→

$$\begin{array}{c} 3 \\ \diagdown \quad \diagup \\ 1 \quad 2 \end{array} + \begin{array}{c} 3 \\ | \\ 1 \\ | \\ 2 \end{array} \\
 x^3 + x^2$$



→

$$\begin{array}{c} 2 \\ | \\ 1 \end{array} \\
 x^2$$



$$x^3 \cdot x \cdot x^2$$

$$+ x^3 \cdot x \cdot x$$

$$+ x^3 \cdot x$$



→

$$\begin{array}{c}
 3 \\
 \diagdown \quad \diagup \\
 1 \quad 2
 \end{array}
 + \begin{array}{c}
 3 \\
 | \\
 1 \\
 | \\
 2
 \end{array}$$

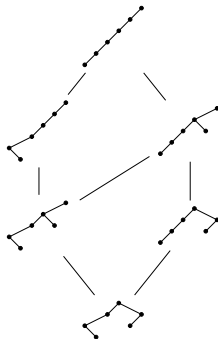
$$x^3 + x^2$$



→

$$\begin{array}{c}
 2 \\
 | \\
 1
 \end{array}$$

$$x^2$$



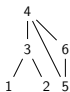
$$x^3 \cdot x \cdot x^2$$



$$+ x^3 \cdot x \cdot x$$



$$+ x^3 \cdot x$$





→

$$\begin{array}{c}
 3 \\
 \diagdown \quad \diagup \\
 1 \quad 2
 \end{array}
 + \begin{array}{c}
 3 \\
 | \\
 1 \\
 | \\
 2
 \end{array}$$

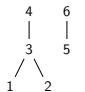
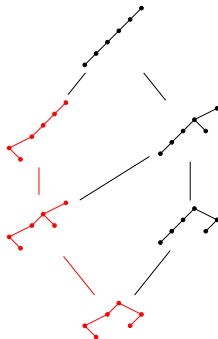
$$x^3 + x^2$$



→

$$\begin{array}{c}
 2 \\
 | \\
 1
 \end{array}$$

$$x^2$$



$$x^3 \cdot x \cdot x^2$$

$$+ x^3 \cdot x \cdot x + x^3 \cdot x$$

$$\begin{array}{c}
 4 \quad 6 \\
 | \quad | \\
 3 \quad 5 \\
 | \\
 1 \\
 | \\
 2
 \end{array}$$

$$+ x^2 \cdot x \cdot x^2$$


 \rightarrow

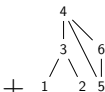
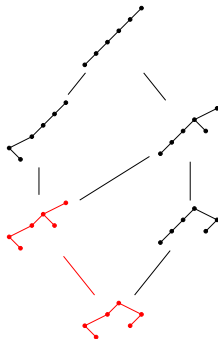
$$\begin{array}{c} 3 \\ \diagdown \quad \diagup \\ 1 \quad 2 \end{array} + \begin{array}{c} 3 \\ | \\ 1 \\ | \\ 2 \end{array}$$

$$x^3 + x^2$$


 \rightarrow

$$\begin{array}{c} 2 \\ | \\ 1 \end{array}$$

$$x^2$$



$x^3 \cdot x \cdot x^2$

$+ x^3 \cdot x \cdot x + x^3 \cdot x$



$+ x^2 \cdot x \cdot x^2 + x^2 \cdot x \cdot x$



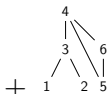
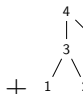
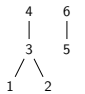
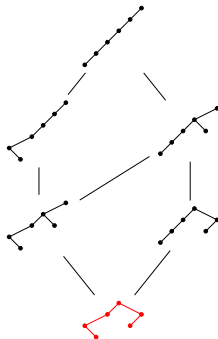
→

$$\begin{array}{c} 3 \\ | \quad | \\ 1 \quad 2 \end{array} + \begin{array}{c} 3 \\ | \\ 1 \\ | \\ 2 \end{array} \\
 x^3 + x^2$$



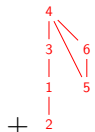
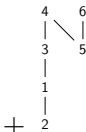
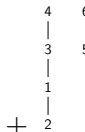
→

$$\begin{array}{c} 2 \\ | \\ 1 \end{array} \\
 x^2$$



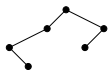
$$x^3 \cdot x \cdot x^2$$

$$+ x^3 \cdot x \cdot x + x^3 \cdot x$$

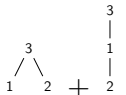


$$+ x^2 \cdot x \cdot x^2 + x^2 \cdot x \cdot x$$

$$+ x^2 \cdot x$$



→



$$x^3 + x^2$$

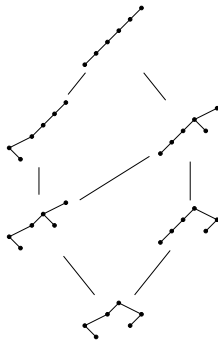


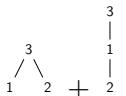
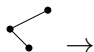
→



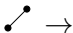
$$x^2$$

$$(x^3 + x^2).x.(x^2 + x + 1)$$

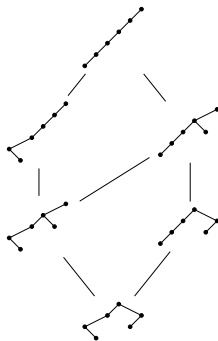




$$x^3 + x^2$$



$$x^2$$



$$x \mathcal{B}_L(x) \frac{\mathcal{B}_R(x) - \mathcal{B}_R(1)}{x - 1}$$

Posets de m -Tamari

(2011-2012) Bergeron, Préville-Ratelle, *Higher trivariate diagonal harmonics via generalized Tamari posets.*

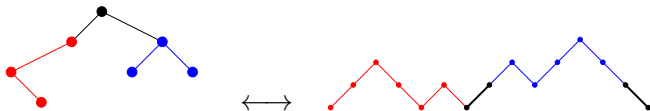
Posets de m -Tamari

(2011-2012) Bergeron, Préville-Ratelle, *Higher trivariate diagonal harmonics via generalized Tamari posets.*

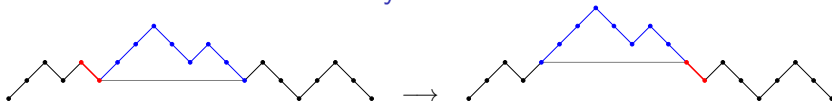
Structure de treillis, intervalles

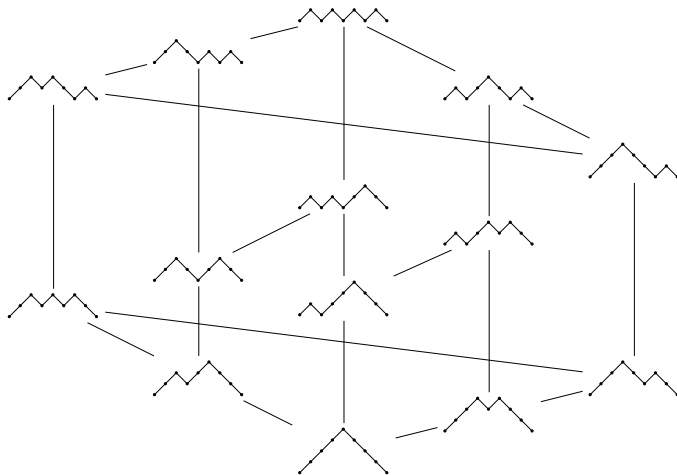
(2011) Bousquet-Mélou, Fusy, Préville-Ratelle, *The number of intervals in the m -Tamari lattices.*

Bijection arbres - chemins



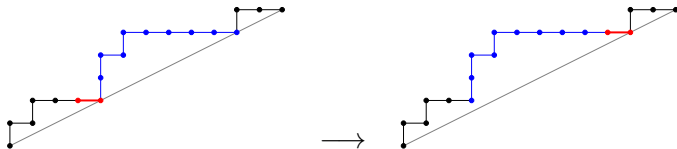
Rotation sur les chemins de Dyck

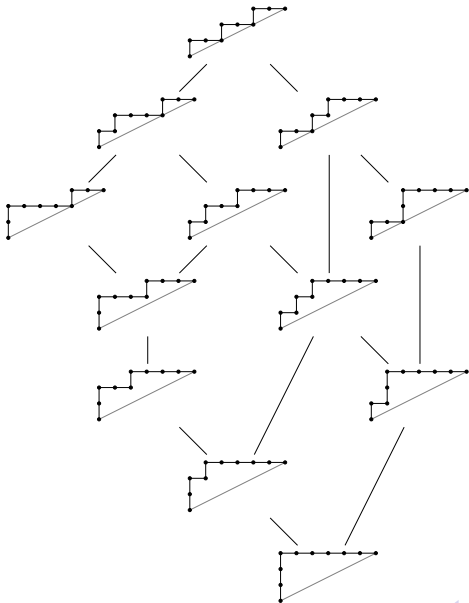


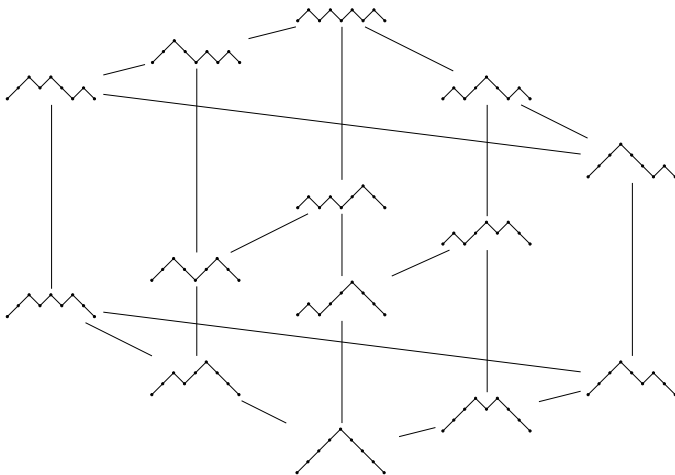


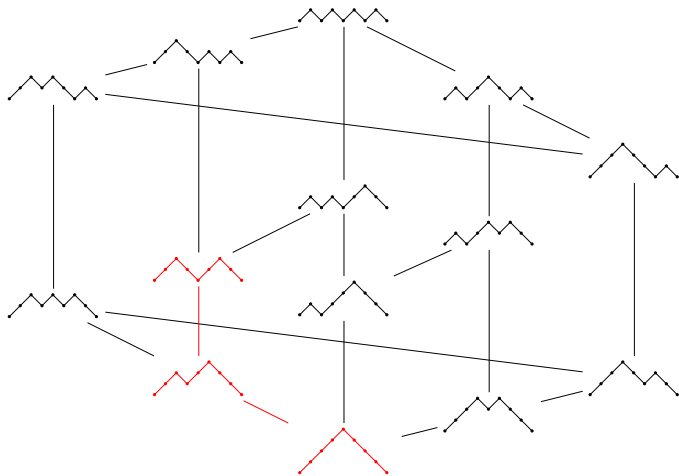
Chemins m -ballots

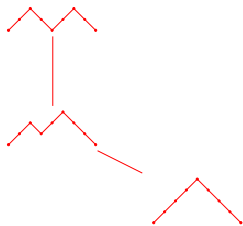
Exemple $m = 2$.



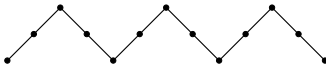
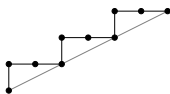


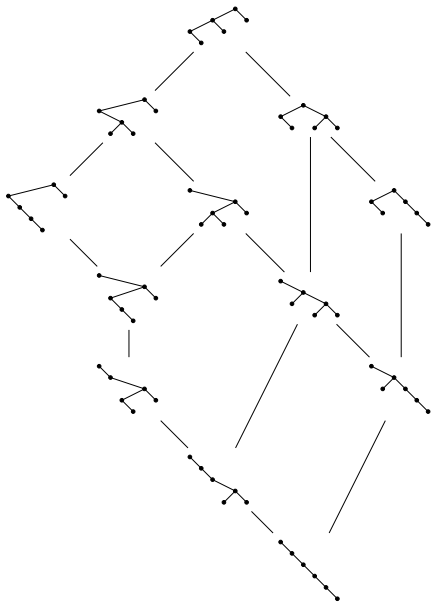




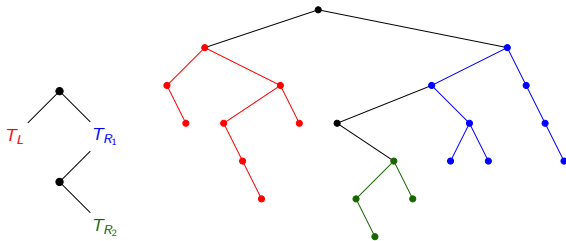


Arbres m -binaires





Structure ternaire



Intervalles-posets

Intervalles-posets

- ▶ polynômes de Tamari multivariés et flots

Intervalles-posets

- ▶ polynômes de Tamari multivariés et flots
- ▶ bijection avec les triangulations planes, statistiques symétriques, etc.

Intervalles-posets

- ▶ polynômes de Tamari multivariés et flots
- ▶ bijection avec les triangulations planes, statistiques symétriques, etc.
- ▶ treillis cambriens et généralisations

Intervalles-posets

- ▶ polynômes de Tamari multivariés et flots
- ▶ bijection avec les triangulations planes, statistiques symétriques, etc.
- ▶ treillis cambriens et généralisations

Structures " m "

Intervalles-posets

- ▶ polynômes de Tamari multivariés et flots
- ▶ bijection avec les triangulations planes, statistiques symétriques, etc.
- ▶ treillis cambriens et généralisations

Structures " m "

- ▶ structures algébriques

Intervalles-posets

- ▶ polynômes de Tamari multivariés et flots
- ▶ bijection avec les triangulations planes, statistiques symétriques, etc.
- ▶ treillis cambriens et généralisations

Structures " m "

- ▶ structures algébriques
- ▶ treillis des chaînes de permutations